

Modellierung nicht-spiegelnder Reflexion von Platten mittels quasi-geführter Wellen

Daniel A. Kiefer Michael Ponschab

Lehrstuhl für Sensorik
Friedrich-Alexander-Universität Erlangen-Nürnberg (FAU)
91052 Erlangen

17.08.2021 – DAGA 2021, Wien

Gefördert durch ein DEGA Young Scientist Grant.



FRIEDRICH-ALEXANDER
UNIVERSITÄT
ERLANGEN-NÜRNBERG
TECHNISCHE FAKULTÄT

Motivation: Lambwellen-basierte Durchflussmesser

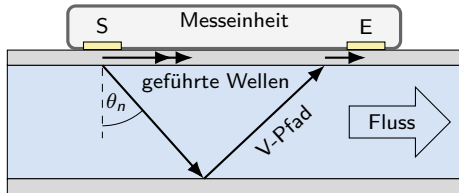


Abbildung: Geometrie eines Durchfluss-Messgerätes basierend auf geführten Wellen.

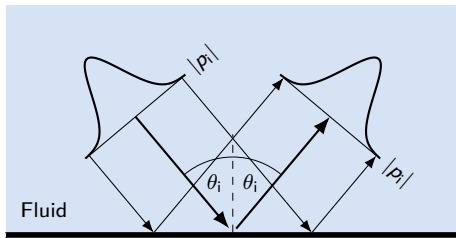
- geführte Wellen in der Rohrwand (z.B. Lambwellen)
 - Dickenresonanzen
 - Abstrahlung unter Winkel θ_n ("kritischer Winkel")
- Reflexion an gegenüberliegender Wand
 - gelangt zum Empfänger (E)

Wie lässt sich die **Reflexion an der Rohrwand** beschreiben?

- 1 Motivation
- 2 Reflexion: spiegelnd vs. nicht-spiegelnd
- 3 Geführte Wellen
- 4 Berechnung mit geführten Wellen
- 5 Berechnung mit quasi-geführten Wellen
- 6 Zusammenfassung

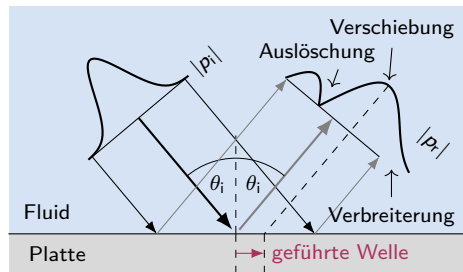
Spiegelnde vs. nicht-spiegelnde Reflexion

spiegelnd:



starre Oberfläche

nicht-spiegelnd:[1][2]



0 Δx : Schoch-Verschieb.

Nicht-spiegelnde Reflexion:

Einfall von Schall auf einen **Wellenleiter** unter dem kritischen Winkel $\theta_i = \theta_n$

[1] A. Schoch. "Seitliche Versetzung eines total reflektierten Strahls bei Ultraschallwellen". In: *Acta Acustica united with Acustica* 2.1 (1. Jan. 1952), S. 18–19

[2] H. L. Bertoni und T. Tamir. "Unified theory of Rayleigh-angle phenomena for acoustic beams at liquid-solid interfaces". In: *Applied physics* 2.4 (1. Okt. 1973), S. 157–172

Lambwellen: Geführte Wellen in einer freien Platte

- harmonischer, ebener Wellenansatz:

$$\mathbf{v}(x, y) = \mathbf{v}(y) e^{i(kx - \omega t)}$$

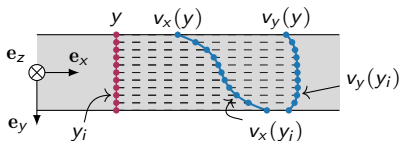


Abbildung: Stehende Welle über der Plattendicke

- Eigenwertproblem für $\mathbf{v}(y) = [v_x(y), v_y(y)]^T$
→ "Modale Lösungen":

$v_n(y)$ Teilchengeschwindigkeit

$k_n(\omega)$ Wellenzahl

$\theta_n(\omega)$ Abstrahlwinkel

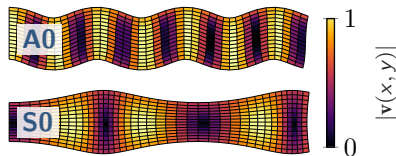


Abbildung: Ausbreitungsfähige Grundmoden:
A0: anti-symmetrische **S0**: symmetrische

Numerische Lösungsmethodik:

- nur Dickenrichtung y diskretisiert
- z.B. Spektrale Kollokation
→ diskrete Operatoren (Matrizen)

Normalmodentheorie für Lambwellen

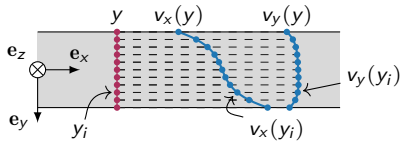


Abbildung: Lambwelle: Modenform

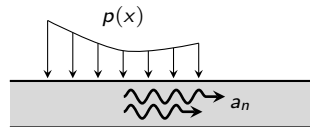


Abbildung: Druck auf Plattenoberfläche

- Eigenfunktionen $\mathbf{v}_n(y)$ ("Modenformen")
 - erfüllen eine *Orthogonalitätsbeziehung*
 - Normalmodentheorie [3]

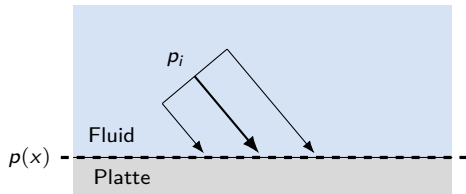
- Bestimme die "Wellenamplituden" $a_n(x)$ aus

$$\left[\frac{\partial}{\partial x} - ik_n \right] a_n(x) = \frac{v_{yn}^* p(x)}{4\bar{P}_n}$$

- \bar{P}_n : Leistungsfluss der Wellen
- v_{yn}^* : normale Teilchengeschw. an Plattenoberfläche.

[3] B. A. Auld. *Acoustic Fields and Waves in Solids 2*. 2nd. Bd. 2. 2 Bde. Malabar, Fla: Krieger Publishing Company, 1990. 878 S.

Anregung bei Schalleinfall



$$p(x) = 2p_i(x) + p_{1n}(x) \quad [4]$$

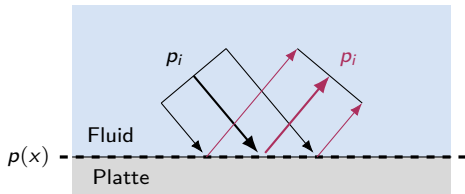
p_i : einfallender Druck
= schallhart reflektierter Druck

p_{1n} : abgestrahlter Druck
(von der geführten Welle).

- p_i ist vorgegeben \rightarrow bekannt

[4] X. Jia. "Normal-mode theory of nonspecular phenomena for a finite-aperture ultrasonic beam reflected from layered media". In: *Applied Physics Letters* 70.3 (20. Jan. 1997), S. 309–311

Anregung bei Schalleinfall



$$p(x) = 2p_i(x) + p_{in}(x) \quad [4]$$

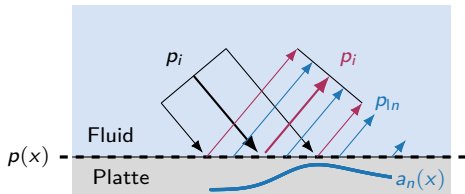
p_i : einfallender Druck
= schallhart reflektierter Druck

p_{in} : abgestrahlter Druck
(von der geführten Welle).

- p_i ist vorgegeben \rightarrow bekannt

[4] Jia, "Normal-mode theory of nonspecular phenomena for a finite-aperture ultrasonic beam reflected from layered media"

Anregung bei Schalleinfall



$$p(x) = 2p_i(x) + p_{1n}(x) \quad [4]$$

p_i : einfallender Druck
= schallhart reflektierter Druck

p_{1n} : abgestrahlter Druck
(von der geführten Welle).

- p_i ist vorgegeben \rightarrow bekannt

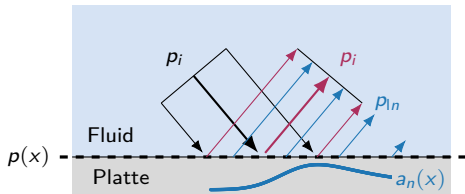
- **Aber:** Was ist p_{1n} ?

\rightarrow Aus Kontinuität von v_y an Grenzschicht:

$$p_{1n}(x) = -\frac{Z_f}{\cos \theta_n} v_{yn} a_n(x)$$

[4] Jia, "Normal-mode theory of nonspecular phenomena for a finite-aperture ultrasonic beam reflected from layered media"

Anregung bei Schalleinfall



$$p(x) = 2p_i(x) + p_{in}(x) \quad [4]$$

p_i : einfallender Druck
= schallhart reflektierter Druck

p_{in} : abgestrahlter Druck
(von der geführten Welle).

- p_i ist vorgegeben \rightarrow bekannt

- **Aber:** Was ist p_{in} ?

\rightarrow Aus Kontinuität von v_y an Grenzschicht:

$$p_{in}(x) = -\frac{Z_f}{\cos \theta_n} v_{yn} a_n(x)$$

- Somit ist der Anregungsterm:

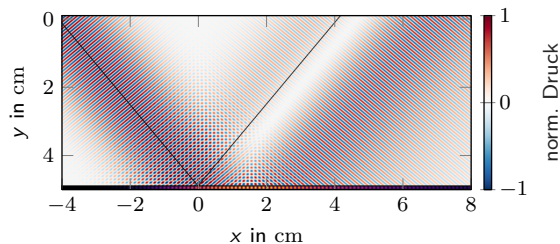
$$\frac{v_{yn}^* p(x)}{4\bar{P}_n} = \frac{v_{yn}^* p_i(x)}{2\bar{P}_n} - \underbrace{\frac{Z_f |v_{yn}|^2}{4\bar{P}_n \cos \theta_n}}_{\alpha_n} a_n(x)$$

Bestimmungsgleichung

$$\left[\frac{\partial}{\partial x} - i(k_n + i\alpha_n) \right] a_n(x) = \frac{v_{yn}^* p_i(x)}{2\bar{P}_n}$$

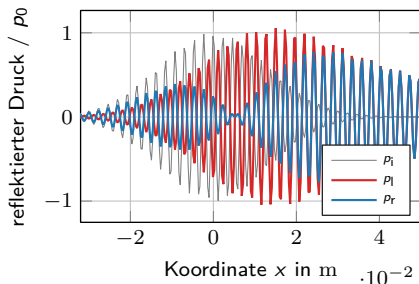
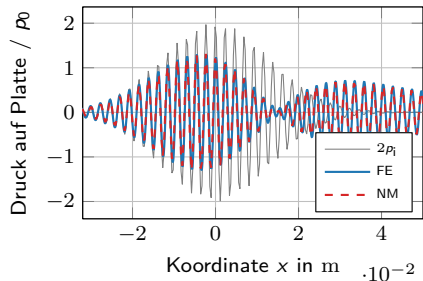
[4] Jia, "Normal-mode theory of nonspecular phenomena for a finite-aperture ultrasonic beam reflected from layered media"

Beispiel: Stahlplatte mit Wasser



hoher Impedanzunterschied

- A0 Mode bei 1 MHz mm
- Strahlbreite: $\alpha_n w = 0.4$
→ $w = 1,3$ cm



Berechnung des reflektierten Wellenfeldes

Bestimmungsgleichung

$$\left[\frac{\partial}{\partial x} - i(k_n + i\alpha_n) \right] a_n(x) = \frac{v_{yn}^* p_i(x)}{2\bar{P}_n}$$

Normalmodentheorie (NM):

- 1 Geführte Wellen (k_n, \mathbf{v}_n) berechnen
→ Liefert auch \bar{P}_n und θ_n
- 2 Bestimmungsgl. $1 \times$ integrieren

Bemerkungen:

- Zwei **ein-dimensionale** Probleme:
- p_i und p_r separat bestimmt

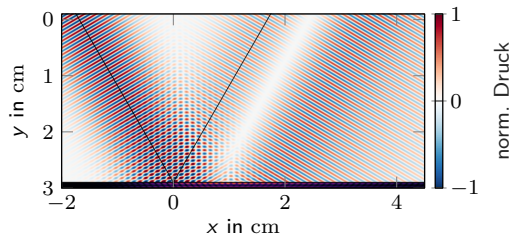
Finite Elemente (FE):

- 1 Geführte Wellen (k_n, \mathbf{v}_n) berechnen
→ da θ_n benötigt wird
- 2 FE-System in der x - y -Ebene lösen

Bemerkungen:

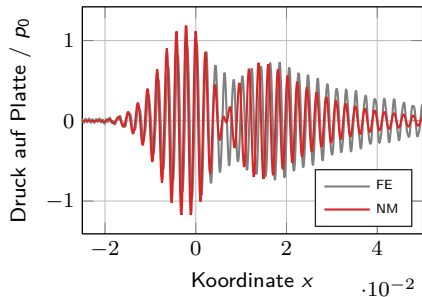
- 1D + 2D Problem
→ entsprechend höherer Rechenaufwand
- Offene Domäne → Schwierigkeiten
- p_i und p_r separieren sich nur im Fernfeld

Beispiel: Plexiglasplatte und Wasser



niedriger Impedanzunterschied

- S1' Mode bei 1,4 MHz mm
- Strahlbreite: $\alpha_n w = 0.5$
→ $w = 0,64$ cm



Problem:

Abklingverhalten wird durch α_n nicht richtig abgeschätzt!

Berechnung mit quasi-geführten Wellen

- ersetze $k_n + i\alpha_n$ durch $k_n^l = \text{Re } k_n^l + i \text{Im } k_n^l$:

$$\left[\frac{\partial}{\partial x} - i \underbrace{(k_n + i\alpha_n)}_{k_n^l} \right] a_n(x) = \frac{v_{yn}^* p_i(x)}{2\bar{P}_n}$$

→ vermeide Berechnung von $\alpha_n \approx \text{Im } k_n^l$

- ersetze auch v_{yn}^* und \bar{P}_n durch die entsprechende Größen der quasi-geführten Wellen

→ funktioniert nicht

→ da Normalmoden Theorie nicht gültig

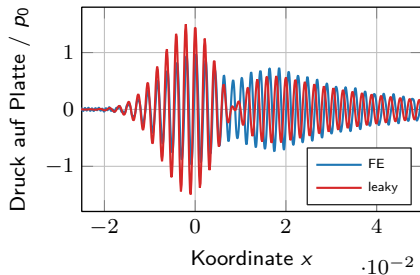
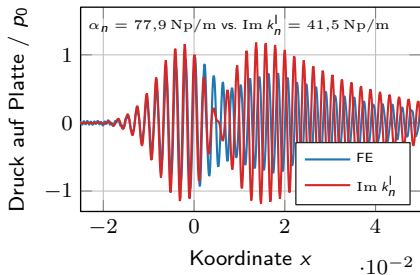


Abbildung: Plexiglas-Wasser, S1' bei 1,4 MHz mm, $\alpha_n w = 0.5$

Quasi-Normalmoden Theorie für abstrahlende Wellen benötigt! [6]

[6] E. S. C. Ching u. a. "Quasinormal-mode expansion for waves in open systems". In: *Reviews of Modern Physics* 70.4 (1. Okt. 1998), S. 1545–1554

- Nicht-spiegelnde Reflexion
 - Grund: geführte Wellen
 - bei Einfall unter dem kritischen Winkel
 - Überlagerung von schallhart reflektiertem Strahl und abgestrahltem Wellenfeld
- Berechnung mittels Normalmoden-Theorie
 - zwei 1d-Probleme → sehr effizient
 - perfekt geführte Wellen (Lambwellen)
 - gute Genauigkeit für schwach abstrahlende Moden
- Quasi-geführte Wellen
 - exakte Fluid-Struktur Interaktion
 - Liefern komplexe Wellenzahlen d.h., berücksichtigen Abstrahlung

Herausforderung:

Entwicklung einer Quasi-Normalmoden Theorie für abstrahlende Lambwellen

